

مدل‌سازی تأثیرات حاشیه‌نشینی بر تغییرات شهر ارومیه و پیش‌بینی توسعهٔ فیزیکی شهر با استفاده از تصاویر ماهواره‌ای تا افق ۱۴۱۰

حسن محمودزاده* - دانشیار جغرافیا و برنامه‌ریزی شهری دانشگاه تبریز
کبری درخشانی - دانشجوی کارشناسی ارشد سنجش از دور و سیستم اطلاعات جغرافیایی دانشگاه تبریز
سحر مؤمنی - دانشجوی کارشناسی ارشد سنجش از دور و سیستم اطلاعات جغرافیایی دانشگاه تبریز

پذیرش مقاله: ۱۳۹۷/۰۱/۱۹

تأیید نهایی: ۱۳۹۶/۱۲/۰۲

چکیده

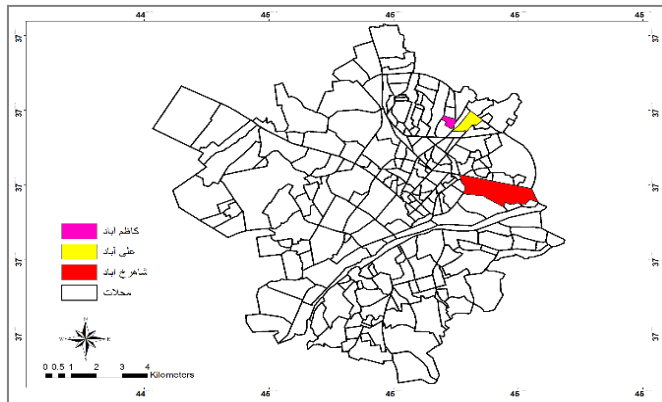
رشد سریع شهرنشینی یکی از چالش‌های برنامه‌ریزان شهری در قرن ۲۱ است. شهرنشینی سریع در ایران، هجوم مهاجران به شهرها و نبود برنامه‌ای کارا برای اسکان مهاجران سبب ایجاد مناطق حاشیه‌ای پیرامون شهرها، گسترش شهر به پیرامون و تخریب اراضی کشاورزی و باغ‌ها شده است. با توجه به این مسئله، پیش و مدیریت نحوه رشد کالبدی شهر ارومی خسروی است. پژوهشگران برای مهار گسترش‌های خارج از برنامه، مدل‌های پایش و پیش‌بینی مختلفی ارائه داده‌اند. پژوهش حاضر به تصویرسازی رشد حاشیه‌نشینی با تحلیل لکه‌های رشد حاشیه‌نشینی برای اولین بار در بازه زمانی ۳۲ ساله، با استفاده از تصاویر چندماهه و مدل زنجیره مارکوف و سلول‌های خودکار پرداخته است. هدف این نوشتار بررسی فرایند گسترش کالبدی شهر ارومیه بین سال‌های ۱۳۹۵-۱۳۶۳ و پیش‌بینی تغییرات کاربری اراضی تا افق ۱۴۱۰ است. برای اجرای مدل، تصاویر ماهواره لندست، ۵، ۷ و ۸ سال‌های ۱۳۶۳، ۱۳۷۱، ۱۳۹۱ و ۱۳۹۵ شهر ارومیه تهیه شد. سپس با استفاده از نرم‌افزارهای IDRISI، ENVI و ArcGIS میزان تغییرات کاربری اراضی محاسبه و درنهایت دو مدل مذکور اجرا شد. نتایج نشان می‌دهد مساحت اراضی ساخته‌شده شهری از ۲۰۱۶,۵۵ هکتار در سال ۱۳۶۳ به ۶۳۱۸/۸ هکتار در سال ۱۳۹۵ افزایش یافته است. اراضی باغ و کشاورزی نیز از ۲۵۷۱/۲۰ هکتار در سال ۱۳۶۳ به ۶۲۸,۷۹ هکتار در سال ۱۳۹۵ کاهش یافته است. همچنین در نیمی از اراضی بایر ساخت‌وساز صورت گرفته است. نتایج شبیه‌سازی نیز نشان می‌دهد اراضی ساخته‌شده شهری تا افق ۱۴۱۰ به ۸۶/۵۸ (۷۵۲۳/۰۱) درصد) محدوده طرح جامع خواهد رسید. مساحت باغ‌ها و اراضی کشاورزی به ۶۱۹,۶ و اراضی بایر نیز به ۵۴۶,۳۳ هکتار کاهش خواهد یافت.

واژه‌های کلیدی: توسعهٔ فیزیکی، حاشیه‌نشینی، زنجیره مارکوف، سلول‌های خودکار، شهر ارومیه.

مقدمه

شهرنشینی مؤلفه‌ای مهم در تغییر شکل سرزمین‌های جهان است (پیکت، ۲۰۱۱: ۳۳۱-۳۸۲). شکل‌گیری انقلاب صنعتی به عنوان نقطه آغازین توسعه شهرنشینی، سبب گسترش ناfrجام شهرها و تخریب محیط طبیعی شده است (پورمحمدی، ۱۳۸۱: ۳۴). به طور کلی رشد و توسعه شهری امری اجتناب‌ناپذیر است و به طور طبیعی افزایش جمعیت، ناگزیر شهرها را توسعه می‌دهد (مجتهدزاده، ۱۳۸۲: ۱۸۴)، اما با شروع قرن ۱۹ و صنعتی‌شدن جوامع، رشد و توسعه کالبدی (فیزیکی) شهرها علاوه بر عوامل طبیعی از عوامل انسانی نیز متأثر شده است (دهاقانی، ۱۳۷۳: ۲۲). این رشد و توسعه در قالب توسعه کالبدی لجام‌گسیخته و بدون برنامه که یکی از مضلات اصلی ساختار شهری (اقتصادی و اجتماعی) کشورهای در حال توسعه است، خود را نشان داده است (کرم، ۱۳۸۴: ۹۴). در این میان، باید توجه داشت که رشد شهر به ترتیج موقعیت در معرض خطر را تغییر می‌دهد و با رشد نامناسب میزان انسان‌ها و دارایی‌های در معرض تهدید افزایش می‌یابد (چاردن، ۱۹۹۹: ۲۰۰)؛ به این معنا که رشد کندسازهای ساخت دست بشر اعم از ساختمان‌ها، راه‌ها و بسیاری از تأسیسات متناسب با نیاز بشر بیشتر می‌شود. اگر این رشد به صورت اصولی انجام نشود، انسان‌ها و دارایی‌های بسیاری در معرض خطر قرار می‌گیرند. رشد شهر باید بتواند ایمنی، بهداشت، رفاه و محیط سالم را برای شهروندان فراهم کند. توسعه نامتناسب می‌تواند مخاطره‌آمیز و پرهزینه باشد و شهر را با مشکلاتی مانند نابودی زمین‌های مرغوب، تخریب باغ‌ها و زمین‌های زراعی به نفع ساخت‌وساز، هم‌جواری‌های نامناسب کاربری‌ها، کاهش فضاهای طبیعی، کاهش کیفیت آب و ساخت‌وسازهای بی‌برنامه روبه‌رو کند. همچنین اگر این روند رشد سریع و بی‌برنامه باشد، ضمن افزایش محدوده شهرها در مکان‌های نامساعد طبیعی و نابودی مراکز طبیعی، شهر را نیز از شکل متقاضن خود خارج می‌کند و سبب اسکان غیررسمی و گرانی زمین شهری می‌شود (رهنما، ۱۳۸۷: ۶۱)؛ بنابراین بی‌توجهی به مدیریت توسعه در نظام برنامه‌ریزی شهری تأثیرات مخربی خواهد داشت.

شهر ارومیه به عنوان مرکز استان آذربایجان غربی در دوره بعد از اصلاحات اراضی مانند بسیاری از شهرهای بزرگ کشور شاهد مهاجرت‌های روستا-شهری بوده است. از سال ۱۳۴۳ به بعد اصلاحات اراضی و مهاجرت وسیع به این شهر سبب پیدایش محله‌هایی مانند کاظم‌آباد، علی‌آباد، شاهرخ‌آباد و برخی حاشیه‌نشینی‌ها شد. در سال ۱۳۵۰ در اثر تزریق درآمد نفتی در اداره شهرها توسعه شهر ارومیه نیز حالتی چهش‌گونه یافت؛ درنتیجه توسعه در شمال، جنوب و جنوب غربی اتفاق افتاد و وسعت شهر به ۱۴۰۰ هکتار رسید. سال ۱۳۵۷-۱۳۶۶ وقوع جنگ و ناگاری‌ها در جنوب و غرب استان مهاجرت به شهر ارومیه را تشید کرد و وسعت شهر به ۲ برابر افزایش یافت. تعداد محله‌های نابسامان نیز رشد قابل توجهی کردند. در سال‌های ۱۳۶۶-۱۳۷۵ با وجود آهنگ کند افزایش جمعیت، رشد سطح شهر و توسعه کالبدی آن شدید بود. مساحت شهر در سال ۱۳۷۵ به حدود ۷ هزار هکتار رسید؛ یعنی در فاصله بیست سال وسعت شهر پنج برابر شد (مهندسان مشاور معماری و شهرسازی، ۱۳۸۹: ۱۵). براین‌اساس برای به‌حداقل رساندن پیامدهای نامطلوب توسعه و رشد فیزیکی شهر لزوم هدایت آگاهانه و سازمان‌دهی شهر امری ضروری است. امروزه بررسی رشد شهری با استفاده از فناوری‌هایی مانند سنجش از دور انجام می‌شود و با این فناوری می‌توان با هزینه و زمان کمتر، طیف وسیعی از پروژه‌ها را در سطح جهانی، منطقه‌ای، ملی، استانی و محلی به نتیجه رساند. در این میان، تصاویر با بازه‌های زمانی متفاوت اطلاعات مناسبی را درباره تغییرات پوشش گیاهی، گسترش شهر و کاربری اراضی به دست می‌دهد.



شکل ۱. موقعیت محله‌های حاشیه‌نشین بعد از اصلاحات ارضی

منبع: نگارندگان

در پژوهش حاضر، برای اولین بار به تصویرسازی رشد حاشیه‌نشینی با استفاده از تحلیل لکه‌های این رشد در بازه زمانی ۳۲ ساله، با استفاده از تصاویر چندزمانه، تغییرات شهر ارومیه پرداخته شده است. بدین صورت ابتدا کاربری‌های اراضی استخراج و سپس با مقایسه این کاربری‌ها در دوره‌های زمانی مختلف، نسبت تغییرات طی سال‌های ۱۳۹۵-۱۳۶۳ ارزیابی شده است. سپس رشد شهری برای افق ۱۴۱۰ شبیه‌سازی و پیش‌بینی شده است. برای رسیدن به این هدف با تصاویر سنجش‌از دور از مدل سلول‌های خودکار و زنجیره مارکوف رشد استفاده شد. از سلول‌های خودکار به دلیل سادگی، انعطاف‌پذیری، برخورداری از قابلیت درک شهودی و شفافیت و بهویژه توانایی مواجه شدن با ابعاد مکانی و زمانی فرایند توسعه شهری در شبیه‌سازی رشد شهری استفاده شده است (زارعی و آل شیخ، ۱۳۹۱: ۴). همچنین دلیل به کارگیری مدل زنجیره مارکوف، تعیین مقدار کمی تغییراتی است که احتمال دارد در برخی نقاط در آینده رخ دهد؛ بنابراین ماتریس احتمال انتقال، احتمالی را که هر کلاس کاربری به دیگر کلاس‌ها تغییر خواهد کرد ثبت می‌کند.

مبانی نظری

توسعه فیزیکی (کالبدی)

شهر فرایندی پویا و مداوم است که طی آن محدوده‌های فیزیکی و فضاهای کالبدی آن در جهات افقی و عمودی از حیث کمی و کیفی افزایش می‌یابند. اگر این روند سریع و بی‌برنامه باشد، ترکیب فیزیکی مناسبی برای فضاهای شهری به وجود نمی‌آید و سیستم‌های شهری با مشکلات عدیدهای مواجه می‌شوند (روستا و همکاران، ۱۳۹۲: ۱۸۵). می‌توان گفت توسعه فیزیکی شهرها، افزایش کمی و کیفی کاربری‌ها و فضاهای کالبدی (مسکونی، تجاری، مذهبی، ارتباطی و...) یک شهر در ابعاد افقی و عمودی است که در طول زمان انجام می‌گیرد (بمانیان و محمودنژاد، ۱۳۸۷: ۲۲).

سلول‌های خودکار (اتومات)

اصطلاح اتومات را اولین بار آلن تورینگ، ریاضیدان انگلیسی در دهه ۱۹۳۰ ارائه کرد (بنسون و تورنر، ۲۰۰۴: ۲۰۰). سلول‌های خودکار را اولام و فون نویمان در دهه ۱۹۴۰ در رشتة کامپیوتر مطرح کردند. این مدل چارچوبی برای بررسی رفتار سیستم‌های پیچیده مانند رشد شهری است (تورنر، ۲۰۰۰: ۶). مدل سلول خودکار از پنج عنصر اصلی شبکه سلول، مجموعه‌ای از وضعیت‌های مجاز، همسایگی تعریف شده توسط شبکه، قوانین انتقال و زمان تشکیل شده است (بته و تورنر، ۱۶۳: ۲۰۰۱-۱۶۸).

۱. شبکه سلول: فضایی است که CA^۱ در آن وجود دارد. یک سلول زیر واحدی از شبکه یا شبکه هندسی منظم است که می‌تواند به صورت سلول خودکار تک‌بعدی به‌منظور اهداف خطی (مدل‌سازی ترافیک شهری) دو بعدی، مدل‌سازی توسعه شهری و تغییرات کاربری اراضی سه‌بعدی و مدل‌سازی ارتفاع ساختمان ایجاد می‌شود. بعد سه سلول خودکار به‌دلیل سختی در طراحی مدل و ساختار، کمتر مدنظر قرار گرفته است (جباری و احمدی، ۱۳۹۲: ۷۲). شبکه CA در طول زمان تغییر می‌کند (سالیوان، ۲۰۰۱: ۳۰۱).

۲. وضعیت: این عنصر ویژگی‌های سیستم را تعریف می‌کند. هر سلول در هر لحظه می‌تواند تنها یک وضعیت از میان مجموعه وضعیت‌ها را به خود بگیرد. در مدل‌سازی تغییرات کاربری و توسعه شهری وضعیت‌های سلول‌ها نشان‌دهنده انواع کاربری‌هایی مانند جنگل، مرتع و... است (کاظم و همکاران، ۱۳۹۴: ۵۱).

۳. همسایگی: همسایگی در بردارنده خود سلول و تعدادی سلول دیگر در شعاع خاصی از سلول مورد آزمایش است. همچنین به مجموعه‌ای از سلول‌ها اطلاق می‌شود که سلول موردنظر با آن‌ها تعامل دارد. به‌دبیال روابط متقابل سلول مورد آزمایش و همسایه آن و متأثر از قوانین انتقال، سلول به وضعیت‌های مختلف تغییر می‌یابد (روستایی و هادوی، ۱۳۹۳: ۹). در یک فضای دو بعدی دو نوع همسایگی اصلی وجود دارد: همسایگی فون نویمان، چهار سلولی و همسایگی مور هشت سلولی. همسایگی به عنوان حوزه نفوذ جغرافیایی تعریف شده است (توبler، ۱۹۷۹: ۳۷۹-۳۸۶).

۴. قانون: وضعیت آینده سلول را در زمان‌های مختلف نشان می‌دهد. به عبارتی بیان‌کننده روند مدل‌سازی سیستم است و درنتیجه در موقوفیت روش مدل‌سازی مناسب ضروری است (وایت، ۱۹۹۷: ۱-۱۸). در مدل سلول‌های خودکار وضعیت سلول براساس برخی قوانین وابسته به سلول‌های همسایه قبلی است (وایت و همکاران، ۱۹۹۷: ۱)

۵. زمان: زمان در CA ناپیوسته است. سلول‌ها نیز از T به T+1 تکامل می‌یابند (سالیوان و تورنز، ۲۰۰۰: ۱). مدل‌سازی شهری در فضای سلولی را ابتدا توبler با تعریفی که از جغرافیای سلولی ارائه داده است، وارد مطالعات شهری کرد. براین‌اساس سلول‌های خودکار ابزاری مناسب برای مدل‌سازی دینامیک مکانی هستند (دیتلز، ۲۰۰۴: ۴۷۹-۴۹۲). با وجود مزایای مدل سلول‌های خودکار، این مدل نیز محدودیت‌هایی دارد و برای شبیه‌سازی واقعی و پویایی شهری به اندازه کافی قدرتمند نیست؛ بنابراین برای رفع محدودیت‌های این مدل در پژوهش حاضر از ترکیب آن با مدل زنجیره مارکوف استفاده شده است. بنیان‌گذار این مدل آندره آندره‌ویچ مارکوف، آماردان و ریاضی‌دان بزرگ روسی است که این روش را در سال ۱۹۰۵ برای توصیف اصل حرکت سیکلوئیدی (زنجیره‌ای) به صورت سلسله آزمایش‌های زنجیره‌ای ابداع کرد (قه‌هرمانی، ۱۳۸۳: ۷۷). در روش زنجیره‌های مارکوف، تصاویر ماهواره‌ای پوشش زمین براساس ماتریس احتمال، تغییرات را تجزیه و تحلیل می‌کنند. روش زنجیره‌های مارکوف تصاویر پهن‌بندی کاربری اراضی را تحلیل و یک خروجی به شکل ماتریس احتمالی تغییرات و یک تصویر خروجی از ماتریس احتمالی تغییرات برای سال افق را ارائه می‌دهد، اما این مدل نیز به‌نهایی قادر به شرح کمیت حالت‌های تبدیل میان انواع کاربری نیست و تنها توانایی آشکارسازی میزان تبدیل بین انواع کاربری‌های گوناگون را دارد (سنگلی، ۹۳۸-۹۴۸؛ بنابراین در این مورد نیز استفاده از مدل‌های مناسب در کنار استفاده از مدل زنجیره مارکوف ضروری است.

پیشینهٔ پژوهش

در این بخش نمونه‌هایی از پژوهش‌های داخلی و خارجی مرتبط با مدل‌سازی رشد و توسعه شهری با تصاویر ماهواره‌ای بررسی شده‌اند.

شریفزاده مقدم (۲۰۱۳) در فرایند مکانی و زمانی شهرنشینی در کلان‌شهر بمیئی هند به بررسی تغییرات کاربری اراضی شهری بین سال‌های ۱۹۷۳-۲۰۱۰ با استفاده از مدل زنجیره مارکوف و سلول‌های خودکار پرداخته است. براساس نتایج این پژوهش، بالاترین نرخ رشد شهری بین سال‌های ۱۹۷۳ و ۱۹۹۰ رخ داده است. همچنین بیشترین میزان توسعه به سمت شمال در امتداد زیرساخت‌های اصلی ترافیک و بیشترین تخریب در اراضی باز، بایر و گندمزار بوده است. افزون بر این، بین سال‌های ۱۹۹۰ تا ۲۰۱۰ نرخ رشد شهری کاهش یافته است.

پورتاس (۲۰۱۴) در بررسی پویایی فضایی رشد شهری با ادغام مدل‌ها در استفاده از زمین (مورد مطالعه: مونترال سانتیاگو ۲۰۱۰-۲۰۴۵) به تجزیه و تحلیل سنتاریوهای پویایی شهری با مدل فضایی پرداخته است. در این پژوهش از مدل‌های زنجیره مارکوف، رگرسیون لجستیک و سلول‌های خودکار استفاده شده است. نتایج نشان می‌دهد الگوی رشد شهری به صورت توسعه نیمه‌شهری است و براساس پیش‌بینی، شهر سانتیاگو از سال ۲۰۱۰-۲۰۴۵، برابر ۹۳ هزار هکتار (۴۳ درصد) رشد خواهد کرد.

بین آی (۲۰۱۵) تحول و تکامل شهری را با مدل سلول‌های خودکار به کمک تصاویر چندزمانه بررسی کرده است. با استفاده از تصاویر سنجنده TM ماهواره لندست به مدل‌سازی تحول شهری در طول زمان با تلفیق سلول‌های خودکار و شبکه‌های عصبی پرداخته است و با دقت بالاتر، الگوی توسعه فضایی شبیه‌سازی شده است.

آکین (۲۰۱۶) با استفاده از سلول‌های خودکار رشد افقی شهری در آدانای ترکیه مدل‌سازی کرده و به مقایسه مدل‌های زنجیره مارکوف، اسلوٹ، رگرسیون درختی، رگرسیون لجستیک، شبکه عصبی مصنوعی برای مدل‌سازی رشد شهری پرداخته است. درنهایت براساس نتیجه این مقاله مدل اسلوٹ دقیق‌ترین مدل میان مدل‌های کاربردی معرفی شده است.

زراعی و آل شیخ (۱۳۹۱) در مدل‌سازی توسعه شهری با استفاده از اتوماسیون سلولی و الگوریتم ژنتیک (منطقه مورد مطالعه: شهر شیراز) با تلفیق اتوماسیون سلولی و الگوریتم ژنتیک، فرایند توسعه شهری شیراز را بین سال‌های ۱۹۹۰-۲۰۰۰ پیش‌بینی کرده‌اند. براساس این پژوهش، مدل‌سازی مناسب‌ترین محل برای توسعه شهر شمال غرب شهر شیراز است.

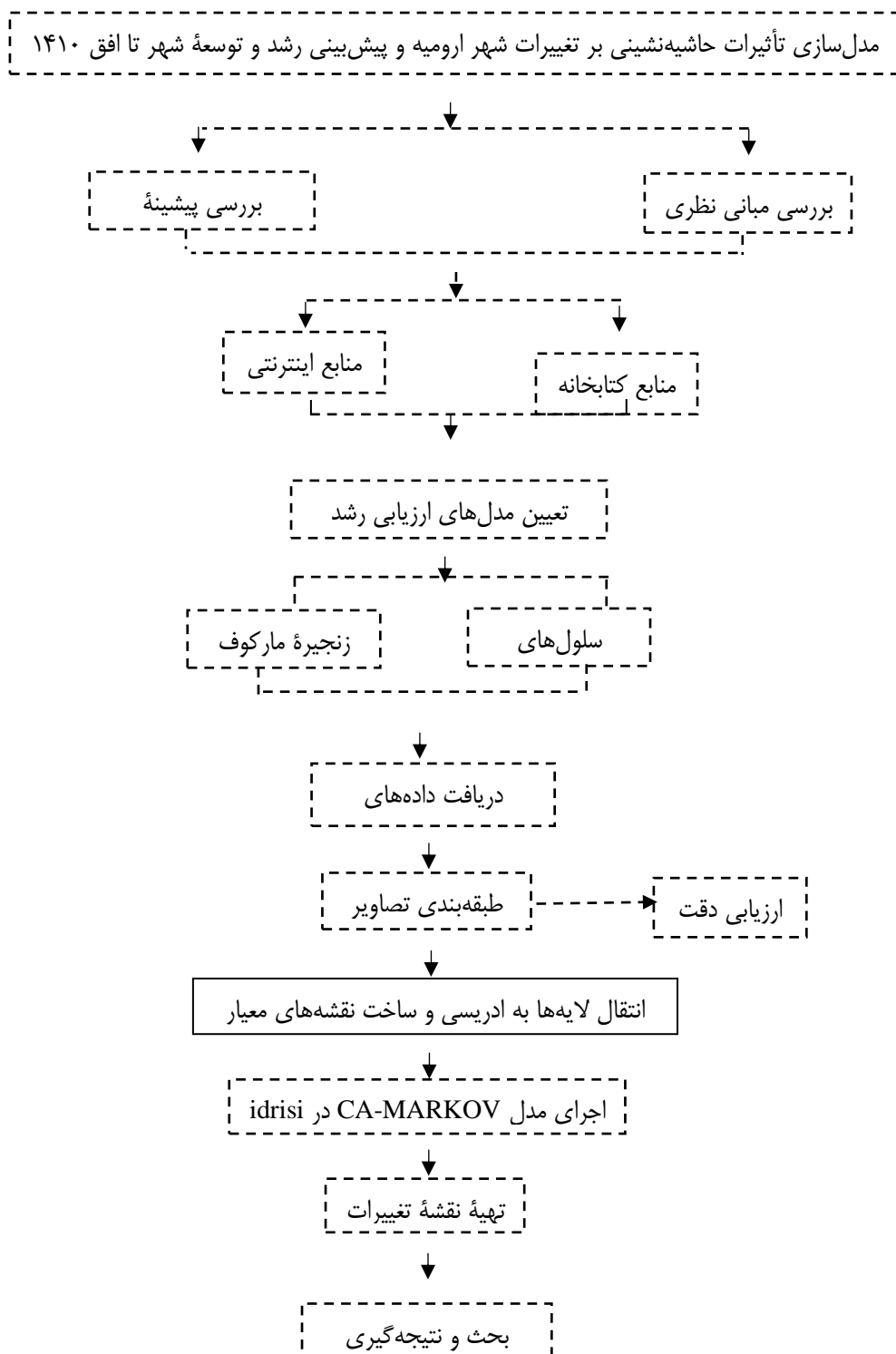
عسگریان و همکاران (۱۳۹۲) به پیش‌بینی رشد مکانی و توسعه پراکنده شهر ساری با به کارگیری مدل سلول‌های خودکار-مارکوف و شاخص آنتروپی شانون با تلفیق روش ارزیابی چندمعیاره و مدل سلول‌های خودکار-مارکوف به بررسی روند گسترش و میزان توسعه پراکنده شهر ساری پرداخته‌اند. براساس این پژوهش، وسعت کاربری مسکونی این شهر از سال ۱۳۷۱ همسو با رشد جمعیت افزایش یافته است و گسترش آن تا سال ۱۴۱۰ و عبور از مرز ۲۸۰۰ هکتار ادامه خواهد داشت.

معبدی و حکیمی (۱۳۹۴) در تحلیل تغییرات کاربری اراضی و شبیه‌سازی گسترش شهری شهرهای میانه‌اندام (مطالعه موردنی: شهر خوی) تغییرات کاربری اراضی این شهر را در سال‌های ۱۳۶۸-۱۳۹۰ به بررسی کرده‌اند. همچنین تغییرات را تا سال ۱۴۰۰ با استفاده از تصاویر ماهواره‌ای لندست ۵ و مدل زنجیره‌ای مارکوف-سلول‌های خودکار پیش‌بینی کرده‌اند و نتیجه گرفته‌اند که اراضی ساخته شده شهری طی سال‌های ۱۳۶۸-۱۳۹۰ افزایش و اراضی کشاورزی و باغ‌ها در همین سال‌ها به ترتیب کاهش یافته است و این روال تا افق ۱۴۰۰ ادامه خواهد داشت.

بررسی پیشینه‌پژوهش در مطالعات داخلی و خارجی نشان می‌دهد که با توجه به اهمیت رشد و توسعه شهری برای مدیران و برنامه‌ریزان شهری، پژوهشگران سعی می‌کنند از بهروزترین داده‌های سنجش از دور استفاده کنند که دلیل این امر هزینه‌های پایین تهیه این داده‌ها از مدل‌هایی است که دقت و نتیجه بہتری دارند. روش پژوهش معبدی و حکیمی

به دلیل نوآوری در بررسی رشد شهرهای میانه‌اندام و همچنین استفاده از فرایند پژوهشی شفاف بر سایر مطالعات ارجح‌تر است؛ بنابراین در مقاله حاضر نیز کوشش شده است از مزیت‌های روش کار آن‌ها استفاده شود.

روش پژوهش



شکل ۲. نمودار مدل مفهومی پژوهش

سنگش از راه دور و تصاویر ماهواره‌ای به‌طور گستردگی در میان برنامه‌ریزان شهری شناخته شده است و برنامه‌ریزان و مدیران شهری آن را ابزاری مفید برای استخراج اطلاعات محیط‌زیست شهری، تهییه نقشه‌پوشش زمین و تغییرات کاربری اراضی، توصیف مورفولوژی شهر و تجزیه و تحلیل آن، توزیع پوشش گیاهی و خصوصیات آن، رشد جمعیت شهری و مشکلات ناشی از آن، برای نظارت و کنترل الگوهای رشد شهری و مدیریت بحران می‌دانند (پتینو و دوک، ۱۳۹۲: ۱۷-۲۰). به‌دلیل کاربرد گسترده تصاویر ماهواره‌ای در محیط‌های شهری در پژوهش حاضر نیز برای مدل‌سازی تغییرات کاربری اراضی و پیش‌بینی رشد فیزیکی شهر ارومیه از تصاویر ماهواره‌ای چند‌ماهه لندست ۵ و ۷ و ۸ سال‌های ۱۹۸۴، ۱۹۹۲، ۲۰۰۲، ۲۰۱۳ و ۲۰۱۶ استفاده شد. مشخصات تصاویر استفاده شده در جدول ۲ آمده است.

مراحل کلی انجام پژوهش شامل موارد زیر است:

۱. طبقه‌بندی و آشکارسازی تغییرات: طبقه‌بندی تصویر شامل مراحل زیر است:

تولید تصویر رنگی کاذب با استفاده از باندهای ۴۳۲ از سال‌های مورد نظر؛

مشخص کردن کاربری‌ها مورد نظر برای استخراج روی تصویر؛

نمونه‌برداری از کاربری‌ها؛

انتخاب نوع طبقه‌بندی: برای انجام طبقه‌بندی از روش طبقه‌بندی حداقل احتمال^۱ استفاده شده است؛

تهییه تصویر طبقه‌بندی از کاربری‌ها؛

آزمون دقت طبقه‌بندی.

در توضیح مراحل بالا و طبقه‌بندی تصاویر ماهواره‌ای، پیکسل‌های تشکیل‌دهنده تصاویر و اختصاص دادن یا معرفی کردن هریک از پیکسل‌ها به کلاس یا پدیده‌ای خاص را طبقه‌بندی اطلاعات ماهواره‌ای می‌گویند (هادوی، ۱۳۹۲: ۲۱). برای طبقه‌بندی تصاویر ماهواره‌ای و استخراج کاربری‌ها و اطلاعات مورد نظر از آن‌ها روش‌های مختلفی وجود دارد. به‌طور کلی طبقه‌بندی تصاویر ماهواره‌ای به شکل نظارت‌نشده یا نظارت‌شده انجام می‌شود (فیضی‌زاده و حاجی‌میرزحیمی، ۱۳۸۷: ۶).

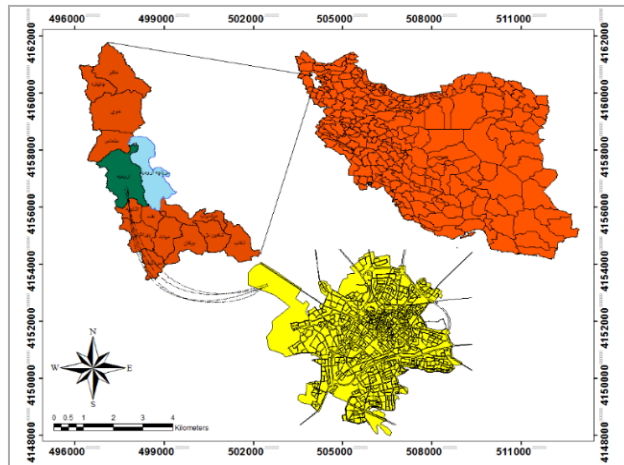
۲. تهییه نقشه‌های کاربری اراضی: جهت تهییه نقشه کاربری اراضی از تصاویر سنجنده TM ماهواره‌ای لندست ۵، تصاویر سنجنده ETM ماهواره‌ای لندست ۷ و تصاویر سنجنده OLI_TIRS Lndst ۸ استفاده شده است. نقشه کاربری اراضی طی فرایند طبقه‌بندی تصاویر به‌دست می‌آید.

۳. تحلیل زنجیره مارکوف: این تحلیل تغییرات کاربری اراضی را از یک دوره به دوره دیگر نشان می‌دهد. از نقشه اجرای مدل زنجیره مارکوف به عنوان پایه‌ای برای تهییه نقشه شبیه‌سازی تغییرات آینده استفاده می‌شود (عزیزی قلاتی، ۱۳۹۵: ۶۲).

۴. اجرای مدل CA-Markov

منطقه مورد مطالعه

شهر ارومیه مرکز استان آذربایجان غربی، دهمین شهر پر جمعیت ایران در غرب دریاچه ارومیه در موقعیت جغرافیایی ۴۵ درجه و ۴ دقیقه طول شرقی و ۳۷ درجه و ۳۲ دقیقه عرض شمالی است که در ۲۰ کیلومتری مرکز شهر قرار گرفته است. براساس نخستین سرشماری عمومی نفوس و مسکن کشور که در سال ۱۳۳۵ انجام شد، جمعیت شهر ارومیه ۶۷,۶۰۵ نفر بود که در سال ۱۳۸۵ به ۶۰۴,۰۰۰ و در سال ۱۳۹۰ به ۶۶۷,۴۹۹ نفر افزایش یافت.



شکل ۳. نقشهٔ موقعیت منطقهٔ تحت مطالعه

بحث و یافته‌ها

الگوی گسترش کالبدی شهر ارومیه

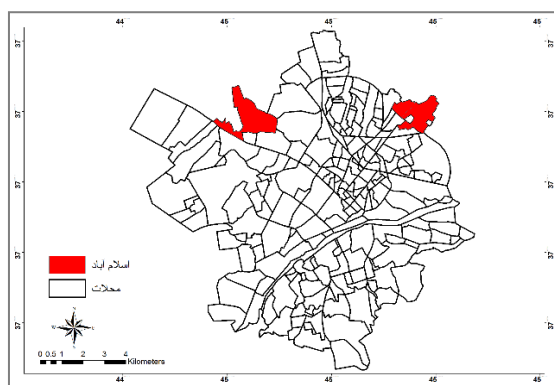
مهاجرت روستاییان به شهرها از دلایل اصلی شهرنشینی شتابان در ایران است؛ به طوری که این شهرها از ۱۹۹ شهر در سال ۱۳۵۵ به ۱۰۱۲ شهر در سال ۱۳۸۵ افزایش یافته‌اند (منصوریان و همکاران، ۱۳۹۲: ۲۶-۲۴). براساس برخی برآوردها جمعیت ایران در سال ۱۴۰۰ به حدود ۹۰ تا ۱۰۰ میلیون نفر خواهد رسید که حدود ۷۰ درصد آن ساکن شهرها خواهند بود. شهر ارومیه مانند سایر شهرهای بزرگ و مهم کشور با داشتن نقش نخست شهری همواره به صورت مهاجرپذیری عمل کرده است. این مهاجرپذیری به شرح زیر است:

سال‌های ۱۳۵۷-۱۳۴۰

از سال ۱۳۴۳ به بعد و در پی انجام اصلاحات ارضی در کشور و تأثیرات مستقیم و غیرمستقیم آن، سبب هجوم جمعیت مهاجر به ارومیه و پیدایش محله‌های نابسامانی مانند علی‌آباد، کاظم‌آباد، شاهرخ‌آباد شد.

مهاجرت اقوام کردزبان به‌سوی شهر ارومیه و شکل‌گیری و رشد مجتمع‌های بدون شکل و قواره مهاجرنشین در منطقه طرزلو.

بخش بزرگ حاشیه‌نشین در منطقهٔ شمالی شهر به نام اسلام‌آباد که در زمین‌های بایر بدون مالک و ساخت‌وساز غیرقانونی و خارج از ضوابط و مجوز شهرداری در این قسمت از شهر ایجاد شده است.



شکل ۴. نقشهٔ منطقهٔ حاشیه‌نشین اسلام‌آباد در شمال شهر

منبع: نگارندگان

سال‌های ۱۳۶۸-۱۳۵۷

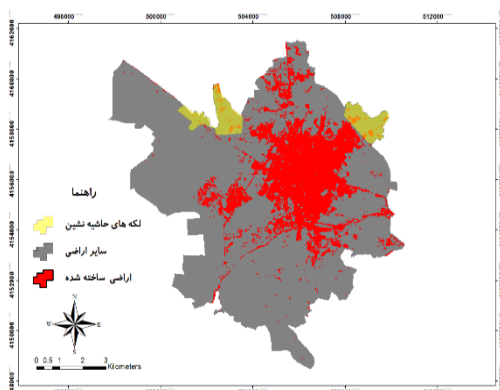
به دلیل ناآرامی ناشی از وقوع جنگ تحملی، ناآرامی‌هایی مهاجرت روستاییان و ساکنان مناطق نامن مرزی در جنوب و غرب استان و ایجاد حاشیه‌نشینی در محله‌های اسلام‌آباد، سنگر.

حومه‌نشینی به موازات رشد شهر که در اثر آن گروهی از ساکنان بافت قدیمی و مرکزی شهر به دلیل کمبود فضا یا استفاده از مزایای بخش‌های نوساز، محل مسکونی خود را به بخش‌های پیرامونی شهر ترک می‌کند. غیر از روند شدید مهاجرت و نرخ بالای افزایش جمعیت، تغییرنکردن در الگوی سنتی سکونت، نبود فرهنگ آپارتمان‌نشینی و ایجاد ساخت‌وسازهای مرتفع از عوامل اصلی بهشمار می‌رond.

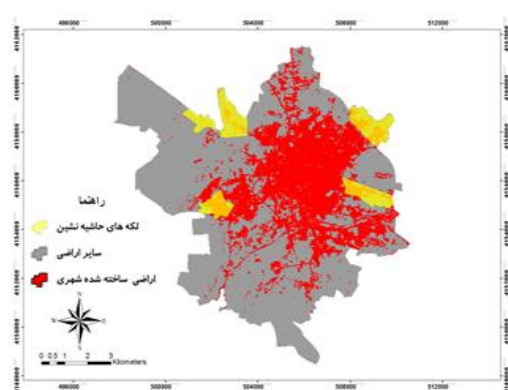
سال‌های ۱۳۸۵-۱۳۷۵

ایجاد ساختمان‌هایی با طبقات محدود سبب گسترش افقی شهر شده است.

سال ۱۳۶۳



سال ۱۳۷۱



شکل ۵. روند گسترش فیزیکی شهر ارومیه طی سال‌های ۱۳۶۳ و ۱۳۷۱

منبع: نگارندگان

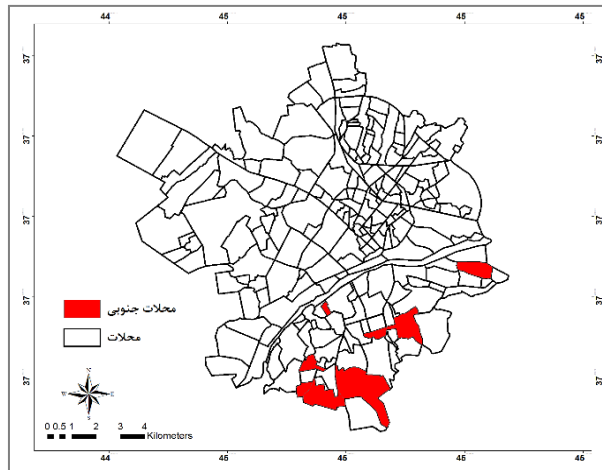
سال‌های ۱۳۹۰-۱۳۸۵

ایجاد یا ادامه ساخت‌وساز در شهرک‌ها و مجتمع‌های مسکونی در قالب تعاونی‌های اصناف و گروه‌های مختلف مانند دارایی، بهزیستی، بازرگانی و کارمندان شهرداری، ثبتاحوال و...

رشد و توسعه شهری در این دوره در بخش‌های شمال باختری و پس از روستای الواج با نام‌های شهرک فجر ۲، شهرک شهریار و تعاونی والدین شاهد زمین مورد نیاز برای ساخت‌وسازهای شهری را فراهم کرده است.

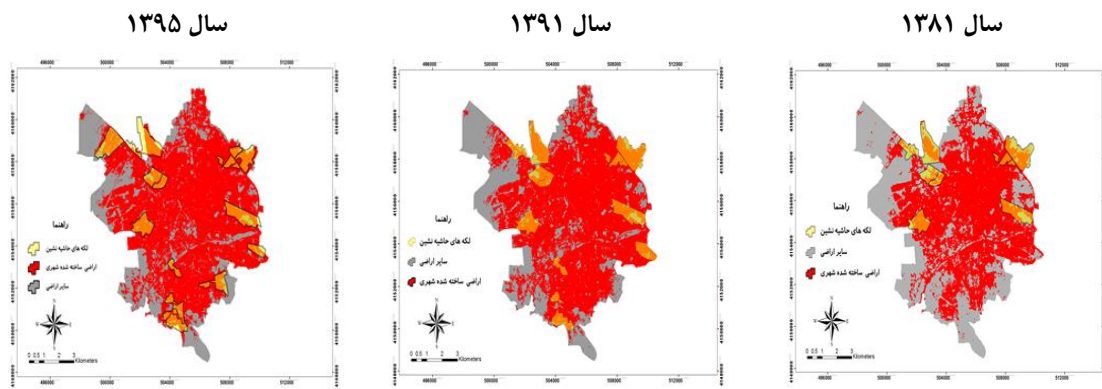
رشد شهر در بخش‌های جنوب و جنوب باختری نیز با شتاب فراوان در ادامه دهه پیشین در حال پیشرفت است.

ایجاد تعاونی‌های مسکن گمرکات، ژاندارمری، اداره راه و ترابری، دانشگاه، شهرداری، فرهنگستان، فرهنگ ۲ و شهرک‌های بهداری و فرشته از جمله بافت‌های مسکونی شاخصی هستند که در بخش‌های جنوبی شهر ایجاد شده‌اند.



شکل ۶. محله‌های حاشیه‌نشین ایجاد شده در جنوب شهر طی سال‌های ۱۳۸۵-۱۳۹۰

منبع: نگارندگان



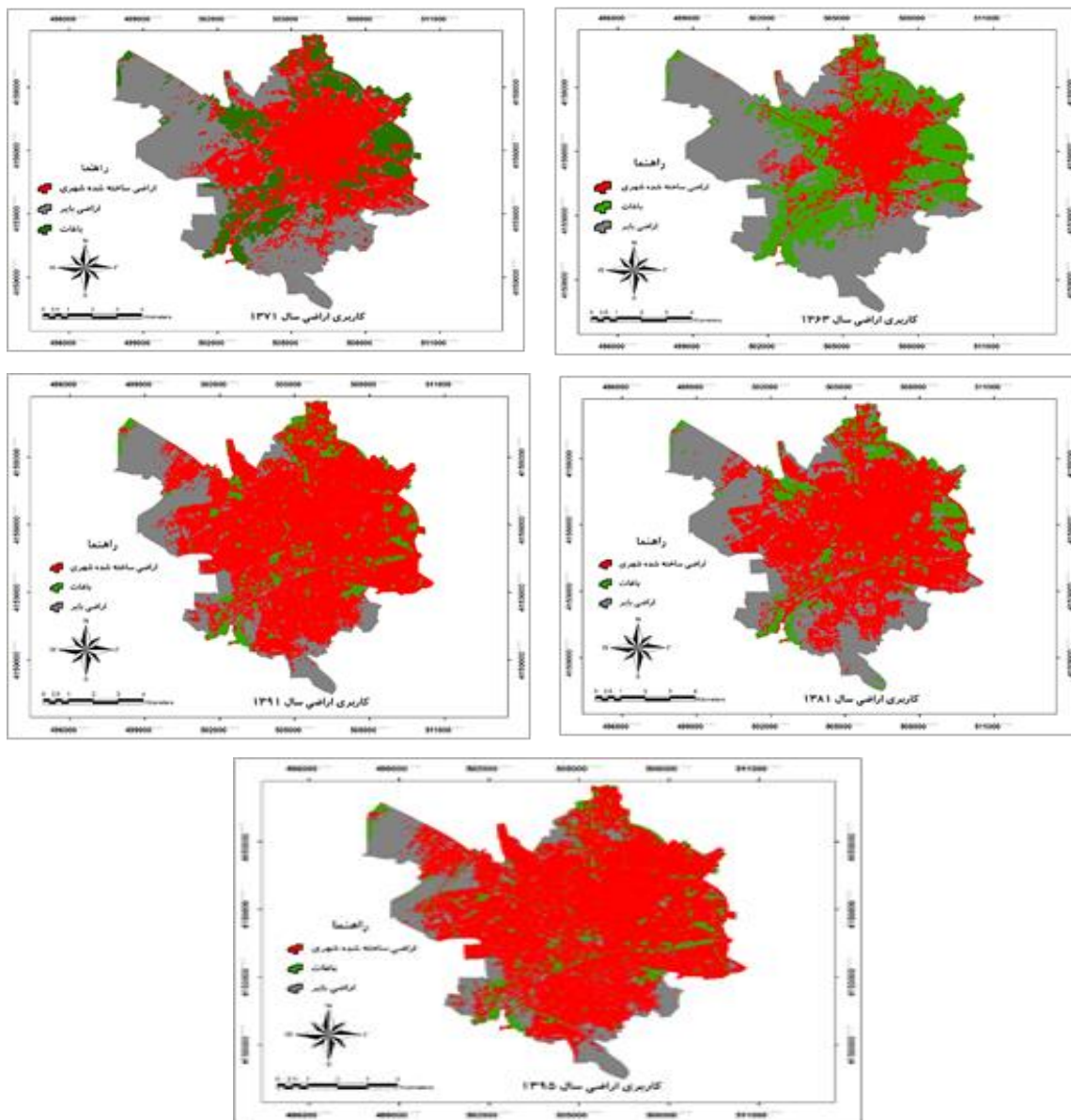
شکل ۷. روند گسترش فیزیکی شهر ارومیه طی سال‌های ۱۳۸۱، ۱۳۹۱، ۱۳۹۵

منبع: نگارندگان

پیدایش شماری از مناطق وجود آبادی‌های روستایی در مقیاس بسیار کوچک چندخانواری به عنوان هسته‌های شکل‌گیری جوامع مهاجر و در پیدایش شماری دیگر وجود زمین‌های ناهموار بدون مالک شخصی در نزدیکی شهر نقش اساسی داشته‌اند. نکته مهم درباره موضوع سکونت مهاجران نقش مهم همبستگی قومی و مذهبی مهاجران در انتخاب محل‌های سکونت آن‌هاست. نواحی غرب و شمال شهر، کردنشین و مناطق شرقی شهر را آذری‌زبانان تشکیل داده‌اند (اظریان و همپاژزاد، ۱۳۹۲: ۴۰-۵۰).

الگوی تغییرات کاربری اراضی شهر ارومیه

در پژوهش حاضر برای مدل‌سازی تأثیرات حاشیه‌نشینی بر تغییرات شهر ارومیه، پیش‌بینی رشد و توسعه شهری و ارزیابی توسعه کالبدی شهر از تصاویر ماهواره‌ای استفاده شده است. نتایج آشکارسازی تغییرات کاربری اراضی که بیانگر رشد فیزیکی شهر است، در طول دوره تحت مطالعه (۱۳۶۳-۱۳۹۵) در جدول ۱ و شکل ۸ آمده است.



شکل ۸. نقشه کاربری اراضی شهر ارومیه در دوره مطالعه (۱۳۹۵، ۱۳۹۱، ۱۳۸۱، ۱۳۷۱، ۱۳۶۳)

منبع: نگارندگان

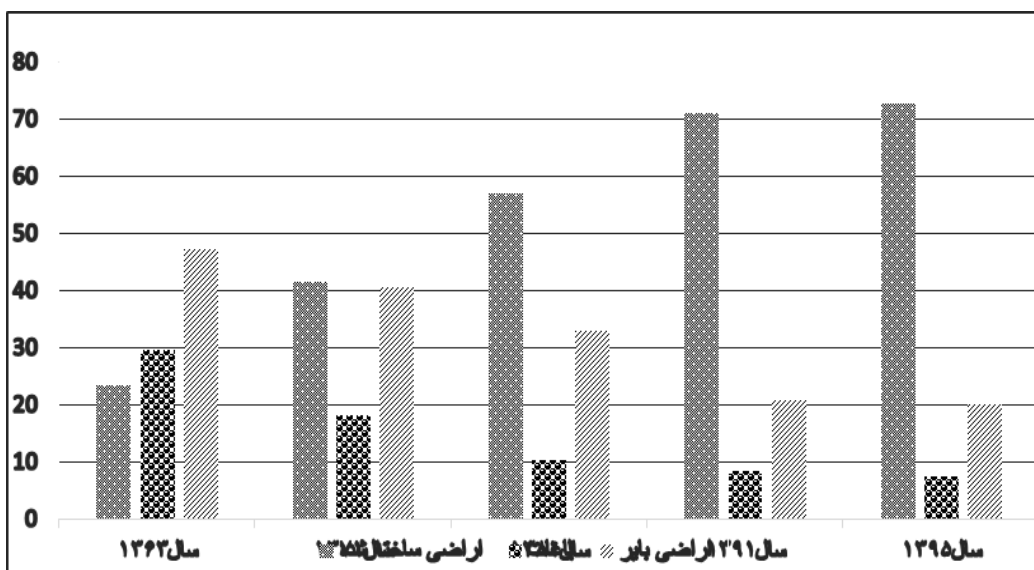
نتایج ارزیابی تغییرات کاربری ها نشان می دهد بیشترین تغییرات به کاربری اراضی ساخته شده شهری مربوط است؛ به طوری که این کاربری از ۲۰۱۶/۵۷ هکتار در سال ۱۳۶۳ به ۳۶۰۸/۲۴ هکتار در سال ۱۳۷۱، از ۴۹۵۳/۲۱ هکتار در سال ۱۳۸۱ به ۶۱۶۹/۳۱ هکتار در سال ۱۳۹۱ و به ۶۳۱۸/۷۸ هکتار در سال ۱۳۹۵ رسیده است. براساس جدول ۴ درصد اراضی ساخته شده شهری سیر صعودی داشته است؛ به طوری که از ۲۳۰۲۱ درصد در سال ۱۳۶۳ به ۷۲۰۷۲ درصد در سال ۱۳۹۵ رسیده است و این نشان دهنده رشد و توسعه فیزیکی بی وقفه شهر ارومیه در ۳۲ سال اخیر بوده است.

با توجه به شکل ۹، مقدار کاربری باغ ها داخل و پیرامون شهر از ۲۹/۵۹ درصد در سال ۱۳۶۳ به ۷/۲۴ درصد در سال ۱۳۹۵ کاهش یافته که این مقدار به نفع ساخت و سازهای شهری بوده است. همچنین مقدار اراضی باир شهر در ۳۲ سال اخیر از ۴۷/۲ درصد در سال ۱۳۶۳ به ۲۰/۰۴ درصد در سال ۱۳۹۵ کاهش داشته و تقریباً نیمی از اراضی بایر شهر از سال ۱۳۶۳ تا سال ۱۳۹۵ به محدوده کاربری های شهری اضافه شده است.

جدول ۱. مساحت انواع کاربری و پوشش زمین در طول پنج دوره مورد مطالعه (۱۳۶۳-۱۳۷۱-۱۳۸۱-۱۳۹۱-۱۳۹۵)

کاربری	سال ۱۳۶۳			سال ۱۳۷۱			سال ۱۳۸۱			سال ۱۳۹۱			سال ۱۳۹۵		
	درصد	هکتار	درصد	هکتار	درصد	هکتار	درصد	هکتار	درصد	هکتار	درصد	هکتار	درصد	هکتار	
اراضی ساخته شده														۷۲۰,۷۲	
ساخته شده	۲۰۱۶,۵۵	۲۳,۲۱	۳۶۰,۸۰,۲۴	۴۱,۰۳	۴۹۵۳,۰۲	۵۷,۰۱	۶۱۶۹,۰۳	۷۱	۶۳۱۸,۰۸	۷۶۳۱,۸۰	۷۶۳۱,۸۰,۸	۷۱	۷۲۰,۷۲	۷۲۰,۷۲	
شهری														۷۰۲۴	
شهری	۲۵۷۱,۰۲	۲۹,۰۹	۱۵۷۳,۰۵	۱۸,۱۱	۸۸۰,۰۴	۱۰,۱۴	۷۲۳,۰۳۳	۸,۰۳۳	۶۲۸,۰۷۹	۸۰,۳۳	۶۲۸,۰۷۹	۸۰,۳۳	۷۰۲۴	۷۰۲۴	
باغها														۲۰۰,۰۴	
باغها	۴۱۰,۱۹	۴۷,۰۲	۳۵۰,۷۶,۲	۴۰,۰۳۶	۲۸۵۴,۰۲	۳۲,۰۸۵	۱۷۹۶,۰۳۱	۲۰,۰۶۷	۱۷۴۱,۰۳۵	۲۰,۰۶۷	۱۷۴۱,۰۳۵	۲۰,۰۶۷	۲۰۰,۰۴	۲۰۰,۰۴	
اراضی بازir														۱۰۰	
اراضی بازir	۸۶۸۸,۹۴	۱۰۰	۸۶۸۸,۹۴	۱۰۰	۸۶۸۸,۹۴	۱۰۰	۸۶۸۸,۹۴	۱۰۰	۸۶۸۸,۹۴	۱۰۰	۸۶۸۸,۹۴	۱۰۰	۸۶۸۸,۹۴	۱۰۰	
مجموع														۷۲۰,۷۲	

منبع: نگارندگان



شکل ۹. مساحت کاربری اراضی شهری شهر ارومیه در طول پنج دوره (۱۳۶۳، ۱۳۷۱، ۱۳۸۱، ۱۳۹۱، ۱۳۹۵)

منبع: نگارندگان

شبیه‌سازی تغییرات کاربری اراضی شهر

به منظور شبیه‌سازی روند تغییرات کاربری اراضی و رشد فیزیکی شهر از نرم‌افزار Idrisi استفاده شده است. با توجه به اینکه روش‌های مختلفی برای پیش‌بینی تغییرات کاربری و پوشش اراضی وجود دارد، در پژوهش حاضر برای پیش‌بینی تغییرات احتمالی کاربری اراضی برای افق زمانی سال ۱۴۱۰ با مقایسه نقشه‌های کاربری اراضی سال‌های ۱۳۶۳، ۱۳۷۱، ۱۳۸۱ و ۱۳۹۱ و ۱۳۹۵ از مدل زنجیره مارکوف و سلول‌های خودکار برای برآورد میزان رشد فیزیکی شهر، شبیه‌سازی و پیش‌بینی روند تغییرات کاربری‌ها در سال‌های آتی استفاده شده و سال ۱۴۱۰ به عنوان افق پیش‌بینی در این تحقیق مدنظر قرار گرفته است.

فرایند مربوط به پردازش تصاویر و آشکارسازی تغییرات کاربری اراضی از طریق نرم‌افزار ENVI انجام شد. سپس برای شبیه‌سازی، روند تغییرات کاربری اراضی و رشد فیزیکی شهر به نرم‌افزار IDRISI منتقل شد. با توجه به اینکه در پژوهش حاضر از تصاویر ماهواره‌ای لندست ۵، ۷ و ۸ استفاده شد و این تصاویر به صورت زمین مرجع در اختیار کاربران قرار گرفت، تصحیح هندسی تصاویر انجام نشد.

جدول ۲. مشخصات تصاویر استفاده شده

ردیف و گذر	نوع ماهواره	نوع سنجنده	سال دریافت	قدرت تفکیک مکانی	قدرت تفکیک رادیومتریک
Path/Row ۱۶۹-۳۴	Landsat5	TM	۱۹۸۴	۳۰	۸ بیت
Path/Row ۱۶۹-۳۴	Landsat5	TM	۱۹۹۲	۳۰	۸ بیت
Path/Row ۱۶۹-۳۴	Landsat7	ETM	۲۰۰۲	۳۰	۸ بیت
Path/Row ۱۶۹-۳۴	Landsat7	ETM	۲۰۱۲	۳۰	۸ بیت
Path/Row ۱۶۹-۳۴	Landsat8	OLI_TIRS	۲۰۱۶	۳۰	۱۱ بیت

همچنین به دلیل اینکه فصل منتخب برای برداشت تصویر روزهای آفتابی بود، سایر تصحیحات نیز به دلیل نبود نویز یا خطای خاصی انجام نشد. سپس تصاویر برای طبقه‌بندی آماده شدند. برای طبقه‌بندی تصویر از الگوریتم حداقل احتمال استفاده شد. در این روش طبقه‌بندی، هر پیکسل به کلاسی انتساب داده می‌شود که بیشترین احتمال تعلق به آن کلاس را دارد (فاطمی و رضایی، ۱۳۸۹: ۲۱۵). بعد از مشخص شدن نوع و روش طبقه‌بندی گام بعدی تعیین تعداد کلاس‌های مورد نظر است که تعداد آن‌ها با توجه به نوع تصاویر ماهواره‌ای و سطوح کاربری و پوشش اراضی متفاوت است. سپس در محدوده مورد مطالعه ۳ کلاس اراضی ساخته شده شهری، اراضی بایر و باغ‌ها تعریف شد. بدین‌ترتیب استخراج کلاس‌های اراضی در محیط ENVI انجام شد. تصاویر سال‌های مورد مطالعه پس از طبقه‌بندی ارزیابی شدند تا در صورت پذیرش طبقه‌بندی بتوان از آن‌ها در اجرای مدل‌ها استفاده کرد. برای ارزیابی دقت و صحت نتایج از ماتریس خطای استفاده شد که مواردی مانند صحت کلی و ضریب کاپا را در اختیار پژوهشگران قرار می‌دهد. ضریب کاپا دقت طبقه‌بندی را در مقایسه با حالتی که یک تصویر به صورت تصادفی طبقه‌بندی شود به دست می‌دهد. مقدار صفر برای کاپا به این معناست که طبقه‌بندی بدون هیچ ضابطه‌ای و کاملاً تصادفی انجام شده است. مقادیر بالای صفر تا ۱ سطحی از دقت را نشان می‌دهد و مقدار ۱ به معنای طبقه‌بندی کاملاً صحیح براساس نمونه‌های گرفته شده است. مقادیر منفی کاپا به معنای ضعف طبقه‌بندی و نتایج بسیار بد است (زارعی و آل‌شیخ، ۱۳۹۱: ۸).

جدول ۳. ضرایب کاپای طبقه‌بندی تصاویر

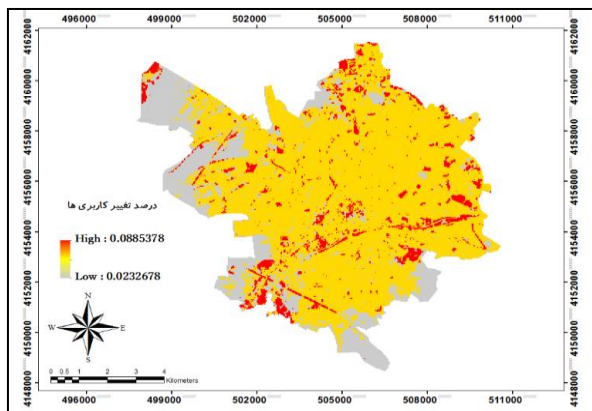
سال‌های مورد بررسی	۱۳۶۳	۱۳۷۱	۱۳۸۱	۱۳۹۱	۱۳۹۵
صحت کلی (درصد)	۹۸/۰۷	۹۹/۷۱	۹۷/۱۸	۹۸/۱۱	۹۹/۲۶
تصاویر ضریب کاپا	۰/۹۶	۰/۹۹	۰/۹۴	۰/۹۶	۰/۹۶

درنهایت نقشه‌های حاصل از کلاس‌ها به عنوان ورودی مدل CA-Markov به محیط IDRISI منتقل شدند. به منظور انجام مدل زنجیره مارکوف نقشه سال ۱۳۶۳ به عنوان نقشه مینا و نقشه سال ۱۳۹۵ به عنوان پیرو و هر دو نقشه به عنوان ورودی مدل زنجیره مارکوف در نظر گرفته شدند. همچنین با توجه به ده سال پیش‌بینی تغییرات برای سال ۱۴۱۰ انجام شد و ماتریس احتمالی تغییرات به دست آمد. نتیجه زنجیره‌های مارکوف به عنوان ورودی برای مدل سلول‌های خودکار استفاده می‌شود.

مدل زنجیره مارکوف

زنジره مارکوف براساس روش احتمالاتی است و با درنظر گرفتن گذشت زمان تغییرات ایجاد شده در کاربری‌ها را نشان

می‌دهد. براساس این تحلیل مشخص می‌شود که در زمان مورد نظر کاربری‌های مربوط چه میزان تغییر می‌کند (احدثزاد، روشتی و حسینی، ۱۳۹۰: ۱۵). اساس این روش به این صورت است که ابتدا دو نقشه کاربری اراضی به صورت رستری به عنوان ورودی مدل تهیه شده‌اند. همچنین فاصله زمانی بین دو تصویر و فاصله زمانی پیش‌بینی نیز در مدل در نظر گرفته می‌شود. خروجی مدل نیز به صورت ماتریس احتمالاتی است که میزان احتمال تغییرات را در یک کاربری و نیز تبدیل آن به سایر کاربری‌ها نشان می‌دهد (احدثزاد و همکاران، ۲۰۰۹: ۶). در شکل ۱۰ نقشه حاصل از اجرای مدل زنجیره مارکوف آمده است.



شکل ۱۰. پیش‌بینی تغییرات کاربری اراضی شهر ارومیه با روش زنجیره مارکوف تا سال ۱۴۱۰
منبع: نگارندگان

جدول ۴. احتمال تغییر کاربری‌های مورد مطالعه تا افق ۱۴۱۰ با استفاده از مدل زنجیره مارکوف

کاربری	اراضی ساخته شده شهری	باغ‌ها	اراضی بایر
اراضی ساخته شده شهری	۸۲,۹۵	۱۰,۸۷	۶,۱۸
باغات	۷۸,۹۴	۱۲,۲	۸,۸۵
اراضی بایر	۷۰,۸۶	۲۰,۳۳	۲۶,۸۱

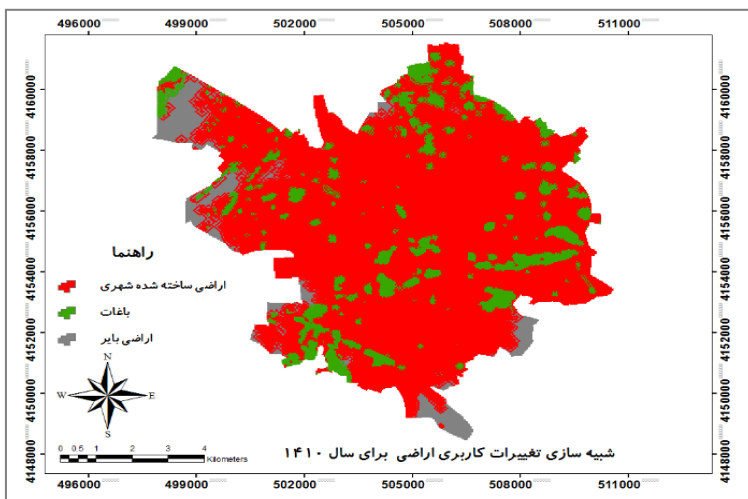
با توجه به جدول ۴ احتمال تغییر کاربری باغ‌ها و اراضی بایر به اراضی ساخته شده تا سال ۱۴۱۰ به ترتیب ۷۸,۹۴ و ۷۰,۸۶ درصد است؛ به این معنا که اگر روند رشد شهری مطابق گذشته ادامه پیدا کند، در ۷۸,۹۴ درصد از اراضی باغ‌های شهر و ۷۰,۸۶ درصد اراضی بایر ساخت و ساز صورت می‌گیرد. این میزان رشد بسیار زیاد است و در صورتی که بدون برنامه‌ریزی ادامه پیدا کند، بسیاری از باغ‌های حاشیه شهر و اراضی بایر تخریب خواهد شد.

مدل ترکیب زنجیره مارکوف و سلول‌های خودکار

با اجرای مدل مارکوف چند تصویر احتمال ایجاد می‌شود. این تصاویر که از ماتریس احتمال انتقال به دست آمده‌اند، ممکن است هر نوع پوشش زمین در هر موقعیت مکانی را در آینده ایجاد کنند. اگرچه احتمالات انتقال در هر کاربری با دقیق فراوانی همراه است، اطلاعاتی از توزیع مکانی مربوط به کاربری‌ها وجود ندارد؛ بنابراین مدل تصادفی مارکوف هیچ اطلاعات وابستگی مکانی ندارد (عزیزی قلاتی، ۱۳۹۵: ۶۳). در مقابل شبکه خودکار به دلیل داشتن ماهیت دینامیک مدلی مناسب برای عملیات شبیه‌سازی است. این مدل منطقه مورد مطالعه را به صورت شبکه‌ای از سلول‌های مشابه در نظر می‌گیرد. همچنین در این شبکه برای هر سلول وضعیت مشخص می‌شود که متأثر از کنش و واکنش‌های میان سلول و همسایگان آن است و براساس قوانین تعریف شده برای مدل به صورت خودکار تغییر می‌کند. درنتیجه با اجرای این مدل

در بستر زمان می‌توان آینده را پیش‌بینی کرد (میرباقری، ۱۳۸۵: ۲)؛ بنابراین برای رفع مشکلات این دو روش، از روش CA-Markov استفاده شده است.

درنهایت با استفاده از مدل ترکیبی سلول‌های خودکار و زنجیره مارکوف با بهره‌گیری از نقشه احتمال گسترش شهری و با توجه به وضعیت سابق کلاس‌های کاربری‌ها (نقشه سال ۱۳۹۵) رشد شهری برای سال ۱۴۱۰ پیش‌بینی شده است.



شکل ۱۱. پیش‌بینی تغییرات کاربری اراضی شهر ارومیه با روش ترکیب زنجیره مارکوف و سلول‌های خودکار تا سال ۱۴۱۰

منبع: نگارندگان

جدول ۵. سطح و سهم کاربری اراضی شهر ارومیه (۱۳۹۵-۱۳۶۳) و پیش‌بینی برای سال ۱۴۱۰

کاربری	سال ۱۴۱۰			سال ۱۳۹۵			سال ۱۳۶۳		
	درصد	هکتار	درصد	هکتار	درصد	هکتار	درصد	هکتار	
اراضی ساخته شده	۸۶/۵۸	۷۵۲۳/۰۱	۷۲/۷۲	۶۳۱۸/۸	۲۳/۲۱	۲۰۱۶/۵۵			
باغ‌ها	۷/۱۳	۶۱۹/۶۰	۷/۲۴	۶۲۸/۷۹	۲۹/۵۹	۲۵۷۱/۲۰			
اراضی بایر	۶/۲۹	۵۴۶/۳۳	۲۰/۰۴	۱۷۴۱/۳۵	۴۷/۲	۴۱۰۱/۱۹			
مجموع	۱۰۰	۸۶۸۸/۹۴	۱۰۰	۸۶۸۸/۹۴	۱۰۰	۸۶۸۸/۹۴			

منبع: نگارندگان

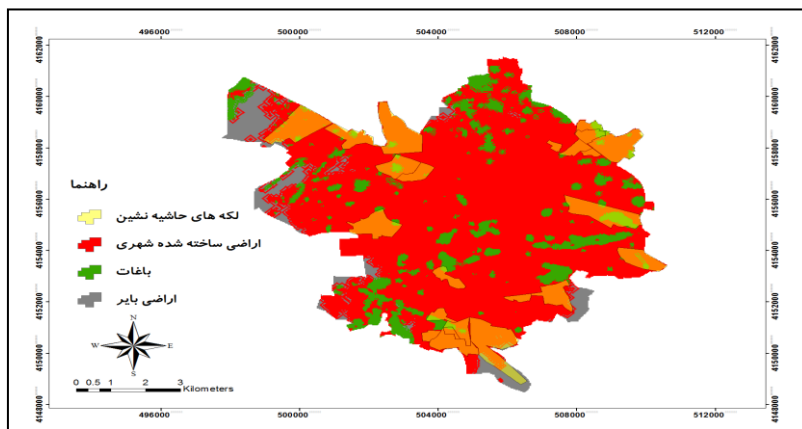
در جدول ۵ که نتایج کمی مدل ترکیبی سلول‌های خودکار و زنجیره مارکوف را نشان می‌دهد، با توجه به وضعیت سابق کلاس‌های کاربری‌ها (نقشه سال ۱۳۹۵) رشد شهری برای سال ۱۴۱۰ پیش‌بینی شده است. براساس جدول ۵ اراضی ساخته شده تا افق ۱۴۱۰ به ۸۶/۵۸ درصد خواهد رسید و باغ‌های شهر از ۷/۲۴ به ۷/۱۳ درصد کاهش خواهند یافت. اراضی بایر نیز با کاهش محسوس از ۶/۲۹ به ۲۰/۰۴ درصد خواهد رسید. همچنین براساس جدول ۶ این احتمال وجود دارد که با توجه به روند رشد شهری در دهه‌های قبل تا افق ۱۴۱۰ مناطق حاشیه‌نشین ۲۱۶۰/۲۲ هکتار رشد کنند.

شکل ۱۲ همپوشانی مناطق حاشیه‌نشین شکل‌گرفته در طول سال‌های مورد بررسی را با نقشه مدل زنجیره مارکوف و سلول‌های خودکار نشان می‌دهد. براین اساس رشد در مناطق مذکور با سرعت در حال پیش‌روی است.

جدول ۶. میزان رشد و توسعه مناطق حاشیه‌نشین شهر ارومیه طی سال‌های ۱۳۶۳-۱۳۹۵ و برآورد احتمال رشد مناطق تا سال ۱۴۱۰

سال‌های مورد بررسی و افق پیش‌بینی شده	۱۴۱۰	۱۳۹۵	۱۳۹۱	۱۳۸۱	۱۳۷۱	۱۳۶۲
مساحت مناطق حاشیه‌نشین	۲۱۶۰/۲۲	۱۰۹۴/۶۲	۸۱۰/۴۶	۴۹۷/۴۵	۲۸۹/۴۸	۴۱/۷۰

منبع: نگارنده‌گان



شکل ۱۲. همپوشانی مناطق حاشیه‌نشین با نقشهٔ پیش‌بینی تغییرات کاربری اراضی شهر ارومیه به روشن ترکیب زنجیرهٔ مارکوف و سلول‌های خودکار تا سال ۱۴۱۰

منبع: نگارنده‌گان

نتیجه‌گیری

الگوی توسعهٔ فیزیکی هر شهر تأثیری اساسی بر پایداری یا ناپایداری توسعهٔ آن دارد؛ از این‌رو مدیران و برنامه‌ریزان شهری باید به‌منظور هدایت این الگو از گسترش فیزیکی و فضایی موجود شهرها شناخت کافی داشته باشند. شهر ارومیه به‌دلیل داشتن بستر بسیار مساعد طبیعی (زمین‌های بسیار مطلوب کشاورزی و منابع آب فراوان)، توسعهٔ شبکه ارتباطی و پدیدهٔ مهاجرت در سال‌های اخیر شاهد رشد سریع جمعیت بوده است. این رشد سبب ایجاد سکونتگاه‌های نابسامان و حاشیه‌نشینی و درنهایت الحاق اراضی پیرامونی به شهر و شهرک‌سازی‌های تعاوونی شده است که جز رشد لجام‌گسیختهٔ کالبد شهر نتیجه‌های نداشته است. مروری بر پژوهش‌های مریوط به این نوع داده‌ها برای بررسی میزان رشد فیزیکی شهر ارومیه نشان می‌دهد از قابلیت‌های تصاویر ماهواره‌ای و مدل‌های مریوط به این نوع داده‌ها برای بررسی میزان رشد فیزیکی شهر کمتر استفاده شده است. در این پژوهش با استفاده از اطلاعات موجود در تصاویر نشان داده شده است که حاشیه‌های شکل‌گرفته در اطراف شهر در دوره‌های زمانی مختلف یکی از عوامل اصلی رشد بافت فیزیکی شهر در طول دهه‌های گذشته بوده است. این شکل از رشد و گسترش شهر سبب نابودی اراضی کشاورزی و به‌طور مشخص باغ‌های منطقه شده است. میزان اراضی ساخته شده شهری نیز از ۲۰۱۶,۵۵ هکتار در سال ۱۳۶۳ به ۶۳۱۸,۸ هکتار در سال ۱۳۹۵ افزایش یافته است و از ۲۳,۲۱ درصد سهم اراضی ساخته شده شهری به ۷۰,۷۲ درصد رسیده است. به عبارت دیگر محدوده شهر در طول این دوره پنج برابر رشد کرده است. زمین مورد نیاز برای این مقدار رشد از باغ‌های داخل شهر و اراضی بایر اطراف شهر تأمین شده است؛ به‌طوری‌که مساحت اراضی باغ و کشاورزی اطراف شهر از ۲۹,۵۹ درصد در سال ۱۳۶۳ به ۷۰,۲۴ درصد در سال ۱۳۹۵ کاهش یافته است. همچنین در طول دوره مطالعه (۳۲ سال اخیر) در نیمی از اراضی بایر اطراف شهر ساخت‌وساز صورت گرفته است. درنتیجه این مقدار از ۴۱۰,۱۹ هکتار (۲ درصد) به

۱۷۴۱،۳۵ هکتار (۲۰۰۰۴ درصد) کاهش یافته است. همچنین می‌توان گفت شهر ارومیه در بازه زمانی ۱۳۹۵-۱۳۶۳ در همه جهات رشد و گسترش داشته است، اما جهات اصلی گسترش شهر در قسمت‌های جنوب و غرب و جنوب شرقی شهر شهر صورت گرفته است. دلیل این امر وجود روستاهای نزدیک به شهر در قسمت‌های جنوب، غرب و جنوب شرقی شهر است که به مرور زمان به شهر تبدیل شده‌اند و سرانجام با اضافه شدن به محدوده شهر سبب رشد شهر در این قسمت‌ها شده‌اند. با توجه به اینکه در قسمت‌های جنوب شهر بیشترین مقدار اراضی کشاورزی و باغ‌ها وجود داشته است، این مقدار به کاربری شهری تغییر کرده است. همچنین در قسمت جنوب شرقی نیز بیشترین استفاده از اراضی بایر شهر شده است. با توجه به نقشهٔ پیش‌بینی تغییرات برای سال ۱۴۱۰ اراضی ساخته شده شهری افزایش پیدا خواهد کرد، اما نکته مهم این است که مساحت باغ‌ها و اراضی کشاورزی با توجه به اینکه در دوره‌های قبل بسیار استفاده شده است، کاهش اندکی خواهد داشت و این بدان معناست که در حال حاضر بسیاری از اراضی کشاورزی و باغ‌های شهر ارومیه نابود شده‌اند.

همچنین بررسی نحوه گسترش شهر در این بازه زمانی نشان‌دهنده رشد در هسته‌های اولیه حاشیه‌نشینی‌ها و سکونتگاه‌های روستایی اطراف شهر است که با ادامه روند توسعه شهر گسترش یافته و درنهایت به بدنۀ اصلی شهر متصل شده است. با توجه به نکات ذکر شده، تصاویر ماهواره‌ای شهر ارومیه، نقشه‌های ارائه شده نتایج و پیشنهادهای زیر ارائه می‌شود:

با توجه به رشد بی‌رویه شهر، ساخت‌وسازهای قارچ‌گونه و حاشیه‌نشینی‌های دوره‌های اخیر لازم است نظارت شهرداری دقیق‌تر و جدی‌تر اعمال شود.

پایش بهنگام توسعه فیزیکی شهر و به کارگیری تصاویر ماهواره‌ای با توان تفکیک بهتر برای طبقه‌بندی نقشه‌های پوشش زمین در پژوهش‌های بعدی.

به دلیل پویابودن فرایند تغییرات کاربری اراضی در طی زمان پیشنهاد می‌شود در پژوهش‌های بعدی ضمن استفاده از مدل‌های دینامیکی مانند CA-Markov، عوامل فیزیکی و اقتصادی اجتماعی و عوامل سیاسی و مؤثر بر تغییرات کاربری نیز درنظر گرفته شوند.

منابع

۱. احذفزاد روشی، محسن و سید احمد حسینی، ۱۳۹۰، ارزیابی و پیش‌بینی تغییرات و پراکنش افقی شهرها با استفاده از تصاویر ماهواره‌ای چندزمانه و سیستم اطلاعات جغرافیایی (نمونه موردی: شهر تبریز در مقطع زمانی ۱۳۸۶-۱۳۸۳)، مجله پژوهش و برنامه‌ریزی شهری، سال دوم، شماره ۴، صص ۲۰-۱.
۲. بمانیان، محمد رضا و هادی محمود نژاد، ۱۳۸۷، نظریه‌های توسعه کالبدی شهر، چاپ اول، انتشارات سازمان شهرداری‌ها و دهیاری‌های کشور، تهران.
۳. پورمحمدی، محمد رضا و رسول قربانی، ۱۳۸۱، شیوه‌های حفاظت از باغ‌ها و اراضی کشاورزی و آثار آن بر تراکم شهری در ایران، دوفصلنامه علمی-پژوهشی معماری، شهرسازی صفو، سال چهاردهم، شماره ۳۸، صص ۲۳-۳۴.
۴. رهنما، محمد رحیم و غلامرضا عباس‌زاده، ۱۳۸۷، اصول و مبانی مدل‌های سنجش فرم کالبدی شهر، انتشارات جهاد دانشگاهی مشهد.
۵. روستا، زهرا و همکاران، ۱۳۹۲، ارزیابی روند توسعه فیزیکی شهر شیراز و تأثیر شرایط فیزیوگرافیک بر روند تغییرات کاربری اراضی، مجله جغرافیا و برنامه‌ریزی محیطی، سال بیست و چهارم، شماره ۱، صص ۱۸۳-۲۰۰.
۶. روستایی، شهریور و فرامرز هادوی، ۱۳۹۳، شبیه‌سازی رشد شهری با استفاده از تصاویر ماهواره‌ای (مطالعه موردی: شهر زنجان)، کنفرانس بین‌المللی توسعه پایدار، راهکارها و چالش‌ها با محوریت کشاورزی، منابع طبیعی، محیط‌زیست و گردشگری، صص ۱-۱۲.
۷. زارعی، رضا و علی‌اصغر آل شیخ، ۱۳۹۱، مدل‌سازی توسعه شهری با استفاده از اتوکماسیون سلولی و الگوریتم زتیک (منطقه مورد مطالعه: شهر شیراز)، مجله پژوهش و برنامه‌ریزی شهری، سال سوم، شماره ۱۱، صص ۱-۱۶.
۸. عزیزی قلاتی، سارا و همکاران، ۱۳۹۵، پیش‌بینی روند تغییرات مکانی کاربری اراضی با استفاده از مدل زنجیره مارکوف (مطالعه موردی: منطقه کوهمره سرخی استان فارس)، سنجش از دور و سامانه اطلاعات جغرافیایی در منابع طبیعی، سال هفتم، شماره ۱، صص ۵۹-۷۱.
۹. فاطمی، سید باقر و یوسف رضایی، ۱۳۸۹، مبانی سنجش از دور، چاپ دوم، انتشارات آزاده، تهران.
۱۰. فیضی‌زاده، بختیار، ۱۳۸۷، آسکارسازی تغییرات کاربری اراضی با استفاده از روش طبقه‌بندی شیء‌گرا (مطالعه موردی: شهرک اندیشه)، همایش ژئوپردازی، ص ۲.
۱۱. قهرمانی، جعفر، ۱۳۸۳، کاربرد زنجیره مارکوف در برنامه‌ریزی نیروی انسانی (رویکردی کاربری برای مدیران منابع انسانی در سازمان‌های اجتماعی)، مجله تحول اداری، دوره هفتم، شماره ۴۳-۴۴، صص ۷۶-۹۳.
۱۲. کرم، عبدالامیر، ۱۳۸۴، تحلیل تناسب زمین برای توسعه کالبدی در محور شمال غرب شیراز با استفاده از رویکرد ارزیابی چندمعیاری (MCE) در محیط سیستم اطلاعات جغرافیایی، نشریه پژوهش‌های جغرافیایی، دوره سی و هفتم، شماره ۵۴، صص ۹۳-۱۰۶.
۱۳. مجتبه‌زاده، غلام‌حسین، ۱۳۸۲، برنامه‌ریزی شهری در ایران، چاپ چهارم، انتشارات دانشگاه پیام‌نور، تهران.
۱۴. مشهدی‌زاده دهاقانی، ناصر، ۱۳۷۳، تحلیلی از ویژگی‌های برنامه‌ریزی شهری در ایران، دانشگاه علم و صنعت، تهران.
۱۵. منصوریان، حسین و همکاران، ۱۳۹۲، پویایی فضایی-زمانی نظام شهری ایران (۱۳۹۵-۱۳۳۵)، پژوهش‌های جغرافیایی برنامه‌ریزی شهری، دوره اول، شماره ۱، صص ۲۱-۴۲.
۱۶. مهندسان مشاور معماری و شهرسازی، ۱۳۸۹، طرح تجدیدنظر طرح جامع شهر ارومیه بررسی و شناخت شهر، وزارت مسکن و شهرسازی سازمان مسکن و شهرسازی استان آذربایجان غربی.
۱۷. میرباقری، بابک و عباس علی‌محمدی سراب، ۱۳۸۵، شبیه‌سازی نحوه گسترش کاربری شهری با استفاده از داده‌های سنجش از دور و مدل سلول‌های خودکار (مورد مطالعاتی: شهرستان اسلام‌شهر)، پایان‌نامه کارشناسی ارشد، دانشگاه شهید بهشتی.

۱۸. نظریان، اصغر و الناز همپنژاد، ۱۳۹۲، تحلیل فرایند رشد و تکوین شهر ارومیه با بهره‌گیری از همپوشانی عکس‌های هوایی در سیستم اطلاعات جغرافیایی (GIS)، فصلنامه جغرافیایی سرزمین، سال دهم، شماره ۳۹، صص ۵۲-۳۷.
۱۹. هادوی، فرامرز و همکاران، ۱۳۹۲، ارزیابی و پیش‌بینی گسترش افقی شهر قزوین با تأکید بر تغییرات کاربری اراضی، طی دوره ۱۹۸۶-۲۰۱۱، فصلنامه اقتصاد و مدیریت شهری، شماره ۵، صص ۱۵-۲۷.
۲۰. جباری، محمد‌کاظم و سیمین احمدی، ۱۳۹۲، مدل‌سازی توسعه شهری با استفاده از سامانه اطلاعات جغرافیایی (GIS) و سلول‌های خودکار، چاپ اول، نشر آذر کلک، زنجان.
21. Ahadnejad M., and Hoseini A., 2011, Assessment and Predict of Change and Landspace Dispersion by Using Sevral Time Satelite Image and Geographic Information System in Tabriz City 1984-2010, Journal of Research in Urban Planning, Vol. 2, No. 4. PP. 1-20. (*In Persian*)
22. Bmanian M., and Mahmoudnejad, H., 2008, Theory of Urban Development, Publication of Municipal and Village Administrations of Iran, Tehran, Vol. 1. (*In Persian*)
23. Pour-Mohammadi, M., and Ghorbani, R., 2002, Gardens and Agricultural Land Conservation Practices and Its Impact on Urban Congestion in Iran, Journal of Architecture Urban Planning Quarterly, Vol. 14, No. 38. PP. 23-34. (*In Persian*)
24. Rahnema M., and Abbaszade GH., 2008, Principles of Measurement Models the Physical Form of the City, Publications University of Mashhad, Mashhad. (*In Persian*)
25. Rousta, Z., Monavari, S. M., Darvishi, M., Falahati, F., and Morovati, M., 2013, Evaluating Trend of Physical Urban Expansion of Shiraz City and Physiographic Conditions Effect on Land Use Changes, Geography and Environmental Planning Journal, Vol. 49, No. 1, PP. 183-200. (*In Persian*)
26. Roustai, SH., and Hadavi F., 2014, Urban Growth Modeling Using Satellite Images in Zanjan, International Conference on Sustainable Development, Strategies and Challenges with a Focus on Agriculture, Natural Resources, Environment and Tourism, PP. 1-12. (*In Persian*)
27. Zarei R., and AL Sheikh A., 2012, Urban Development Modeling by Using Cellular Automation and Genetic Algorithm in Shiraz, Research and Urban Planning of Journal, Vol. 3, No.11. PP.1-16. (*In Persian*)
28. Azizi Ghalati, S. et al., 2016, Perdict the Spatial Vertiatians in Landuse by Using Markov Chain Model in Kuhhmarreih Sorkhi Region in Fars Provin, Remot Sensing and Geographical Information System in Natural Sources, Vol. 7, No. 1, PP. 59-71. (*In Persian*)
29. Itemi, B., and Rezaei, Y., 2010, Remot Sensing Fundition, Edition 2, Azad Publication Tehran. (*In Persian*)
30. Feizizade B., 2008, Landuse Change Detection by Using Image Base Way in Andishe Towny, Geomatic Conference, PP. 2. (*In Persian*)
31. Ghahramani J., 2004, Application of Markov Chain in Manpower Planning (Functional Approach to Human Resource Managers in Social Organizations), Journal of Administrative Change, Vol. 7, No. 43-44, PP. 76-93.
32. Karam, A., 2005, Analysis of Land Suitability for Physical Development at the Heart of the North West of Shiraz Using Multi Criteria (MCE) Evaluation in GIS, Journal of Geographical, Vol. 37, No. 54. PP. 93-106. (*In Persian*)
33. Mojtahezade, Gh., 2003, Urban Planning in Iran, Edition.4, University Poblication Payam Nour (PNU), Tehran. (*In Persian*)
34. Mojtabaei Zade Dehaghani N., 1994, An Analysis of the Characteristics of Urban Planning in Iran, University of Science and Industry. (*In Persian*)
35. Mansourian H., et al, 2013, Dynamic Spatial - Temporal Urban System of Iran (1956-2016), Geographical Urban Planning Research, Vol. 1, No. 1, PP. 21-42.

36. Engineers Architecture and Urbanism, 2010, The Revised Master Plan Assessment Plan Urmia City, Department of Housing and Urban Development, Housing and Urban Development West Azerbaijan Province. (*In Persian*)
37. Mir Bagheri, B., Ali Mohammadi Sarab, A., 2006, The Expansion of Urban Land Use Simulation Data Using Remote Sensing and Cellular Automata Model (Case Study: City of Islam Shahr), Masters Thesis, Shahid Beheshti University, PP. 2. (*In Persian*)
38. Nazarian, A., and Hmpanzhad, E., 2013, Explanation and Analysis of the Physical Growth and Development Process of Urmia Based on Applying Overlapped Aerial Images in GIS Software, Geographical Territory, No. 39. PP. 37-52. (*In Persian*)
39. Hadavi F., et al, 2013, Evaluating and Predicting Horizontal Expansion of the City of Qazvin Emphasizing the Land-Use Changes From 1986 to 2011, Urban Economics and Management, No. 5. PP. 15-27. (*In Persian*)
40. Jabbari, M. K., and Ahmadi, S., 2012, Modeling Urban Development Using the Geographic Information System (Gis) and Cellular Automata, Azar Klk, Zanjan. (*In Persian*)
41. Ahadnejad, M., Maruyama, Y., and Yamazaki, F., 2009, Evaluation and Forecast of Human Impacts Based on Land Use Changes Using Multi-Temporal Satellite Imagery and GIS: A Case Study on Zanjan, Iran, J. Indian Soc. Remote Sensing, No. 37, PP. 659-669. (*In Persian*)
42. O'Sullivan , D and Torrens, P. M., 2001, Cellular Automata and Urban Simulation, Where Do We Go From Environment and Planning B: Planning and Design, Vol. 28, PP. 163-168.
43. Benenson, I., and Torrens, P. M., 2004, Geosimulation, Automata-Based Modeling of Urban Phenomena, England.
44. Chardon, Anne-Catherine, 1999, A geographic Approach of the Global Vulnerability in Urban Area: Case of Manisales, Colombian Andes, Vol. 49, No. 2, PP. 197-212.
45. Dietzel, C., and Clarke, K. C., 2004, Spatial Differences in Multi-Resolution Urban Automata Modeling, Transactions in GIS, Vol. 8, No. 4, PP. 479-492.
46. Pickett, S. T. A., et al., 2011, Urban Ecological Systems: Scintific Foundation and a Decade of Progress, Journal of Enviranmental Management, No. 92, PP. 331-382.
47. Sang, L., Zhang, C., Yang, J., Zhu, D., and Yun, W., 2011, Simulation of Land Use Spatial Pattern of Towns and Villages Based on CA-Markov Model, Mathematical and Computer Modelling, Vol. 54, No. 3, PP. 938-943.
48. Sullivan, D., 2001, Exploring Spatial Process Dynamics Using Irregular Cellular Automaton Models, Geographical Analysis,Vol. 33, No. 1, PP. 1-18.
49. Sullivan, D., and Torrens, P. M., 2000, Cellular Models of Urban Systems, Center for Advanced Spatial Analaysis, University College London.
50. Tobler, W., 1979, Cellular Geography, Philosophy in Geography, Vol. 20, PP. 379-386.
51. Torrens, P. M., 2000, How Cellular Models of Urban Systems Work, CASA Working Paper Series, P. 28, available online at: www.casa.ucl.ac.uk, pp.5-68.
52. White, R., Engelen, G., and Uljee, I., 1997, The Use of Constrained Cellular Automata for High-Resolution Modelling of Urban Land-Use Dynamics, Vol. 24, No. 3, PP. 1-18.